

PAPER NAME

3 7381-20440-1-PB.pdf

AUTHOR

Pujo Priyono

WORD COUNT

3026 Words

CHARACTER COUNT

14129 Characters

PAGE COUNT

9 Pages

FILE SIZE

1.0MB

SUBMISSION DATE

Jun 9, 2023 5:37 PM GMT+7

REPORT DATE

Jun 9, 2023 5:37 PM GMT+7

● 19% Overall Similarity

The combined total of all matches, including overlapping sources, for each database.

- 19% Internet database
- Crossref database
- 13% Submitted Works database
- 2% Publications database
- Crossref Posted Content database

● Excluded from Similarity Report

- Bibliographic material
- Cited material
- Manually excluded sources
- Quoted material
- Small Matches (Less than 10 words)

Study Redesain Dimensi Abutmen Jembatan Kironggo Bondowoso Akibat Perbedaan Periode Getar Dan Kelas Situs Tanah

Redesign Study Of The Abutment Dimension Of The Kironggo Bondowoso Bridge due To Differences Of Vibration Period And Soil Site Class

Rizal Budi Pranata¹⁾, Pujo Priyono^{2)*}, Muhtar³⁾

¹⁾Fakultas Teknik, Universitas Muhammadiyah Jember

Email : rizalpranata46@gmail.com

²⁾Dosen FakultasTeknik, Univeritas Muhammadiyah Jember *Koresponden Author

Email : pujopriyono@unmuhjember.ac.id

³⁾Dosen FakultasTeknik, Univeritas Muhammadiyah Jember

Email : muhtar@unmuhjember.ac.id

5 **Abstrak**

Secara struktural jembatan dipisahkan menjadi bangunan atas dan bangunan bawah. Sesuai fungsinya, bangunan bawah jembatan menopang dan meneruskan beban dari bangunan atas jembatan ke lapisan tanah yang kuat dan stabil/solid. Bangunan bawah jembatan terdiri dari abutmen dan pondasi, dimana abutmen bisa juga berfungsi sebagai pondasi jembatan. Metode yang dilakukan pada studi redesain abutmen pada penelitian ini berdasarkan SNI 2833 – 2016 tentang gempa jembatan. Kemudian dianalisa periode getar pada kedua abutmen (tanah lunak – tanah sedang). Dari analisis periode getar yang telah dilakukan pada studi kasus ini menyatakan salah satu abutmen (tanah lunak) tidak sesuai dengan SNI 2833 – 2016 dengan nilai faktor keselamatan $SF < 2,2$ maka dilakukan redesain terhadap abutmen (tanah lunak) sehingga diperoleh periode getar yang sama pada kedua abutmen.

Kata kunci: Kelas situs tanah, Periode getar, Redesain Abutmen.

Abstract

Structurally the bridges are separated into upper buildings and lower buildings. According to its function, the building under the bridge supports and continues the load from the building over the bridge to a strong and stable / solid soil layer. The building under the bridge consists of abutments and foundations, where abutments can also function as a bridge foundation. The method carried out in the design study of abutment in this study is based on SNI 2833 - 2016 on bridge earthquakes. Then analyzed vibration period of both abutments (soft soil - medium soil). From the vibration analysis that has been done in this case study stated that one of the abutments (soft soil) is not in accordance with SNI 2833 - 2016 with the value of safety factor $SF < 2.2$, then it is done design to abutment (soft soil) so that the same vibration period is obtained in both abutments.

Keywords: Soil site class, vibration period, Abutment Redesign.

1. PENDAHULUAN

Indonesia adalah salah satu negara berkembang yang sedang giat melaksanakan pembangunan di segala bidang. Jalan sebagai salah satu prasarana transportasi, mempunyai peranan yang penting di dalam kelancaran transportasi untuk pemenuhan hidup. Sehingga jalan yang lancar, aman dan nyaman telah menjadi kebutuhan hidup utama.

RUMUSAN MASALAH

1. Bagaimana perbedaan periode getar dua abutment jembatan Kironggo-Bondowoso?
2. Bagaimana dimensi revisi agar tercapai keseimbangan periode getar diantara abutment jembatan Kironggo-Bondowoso?

BATASAN MASALAH

1. Tidak membahas rencana anggaran biaya (RAB)
2. Tidak menghitung dan menganalisis sambungan pada jembatan.
3. Tidak membandingkan alternatif lain diluar alternatif dalam tugas akhir ini.

MANFAAT PENELITIAN

- a. Untuk memberikan manfaat dan informasi secara lebih detail tentang dampak perbedaan kelas situs tanah terhadap perbedaan periode getar akibat gempa.
- b. Dari hasil analisis ini, diharapkan dapat mengetahui dimensi yang sesuai dan keseimbangan periode getar pada abutment.

2. PENGERTIAN JEMBATAN

Jembatan ialah suatu konstruksi yang gunanya untuk meneruskan jalan melalui suatu rintangan yang berada lebih rendah. Rintangan ini biasanya jalan lain (jalan air atau jalan lalu lintas). Jembatan yang merupakan bagian dari jalan, sangat diperlukan dalam sistem jaringan transportasi

darat yang akan menunjang pembangunan pada daerah tersebut (Struyk, 1984).

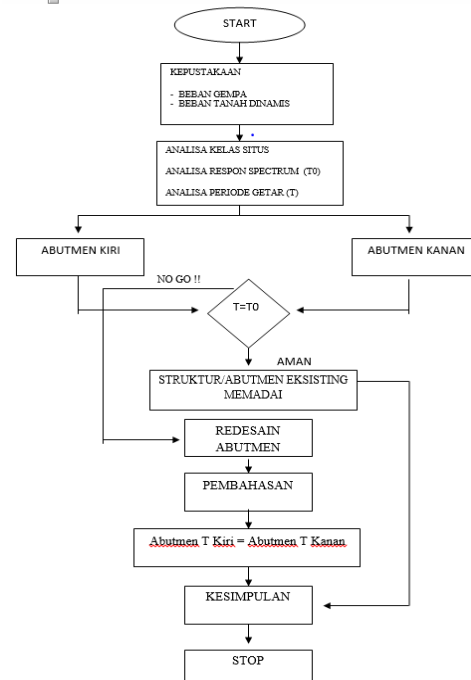
3. LOKASI PENELITIAN

Secara umum lokasi Jembatan Kironggo-Bondowoso berada di Jln. RBA Kironggo Kec. Blindungan Kab. Bondowoso Jawa Timur.



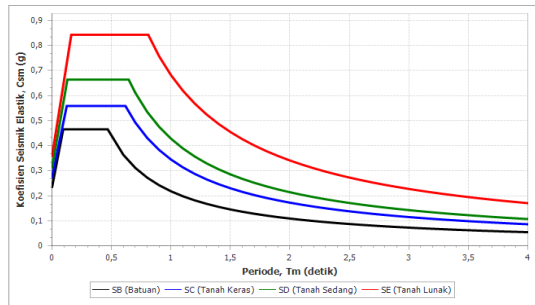
Gambar 1. Peta Lokasi
Sumber : Google Eart

KERANGKA PEMIKIRAN



4. HASIL DAN PEMBAHASAN

Perbedaan periode getar dua abutment jembatan Kironggo-Bondowoso



Gambar 2. Grafik Jenis Tanah
 Sumber: Data Gempa Pusjatan

Tanah Sedang

Beban Gempa Arah Melintang Jembatan (Arah X)

Tinggi breast wall

Hb = 2,850 m

Ukuran penampang breast wall

b = 11,00 m

b = 0,750 m

Inertia perempangan breast wall

Ic = 0,387 m^4

Mutu beton K- 300

f'c = 24,900 Mpa

Modulus elastisitas beton

Ec = 23452,953 Mpa

Ec = 23452952,906 kPa

Nilai kekakuan

Kp = 27209089,895

Percepatan gravitasi

g = 9,8 m/det²

Berat sendiri struktur atas

P_{MS(str atas)} = 5164,322 kN

Berat sendiri struktur bawah

P_{MS(str bawah)} = 1524,898 kN

Berat sendiri total struktur

W_{TP} = 4107,059 kN

Waktu getar alami struktur

T = 0,025 detik

Data gempa dari Pusjatan

Tabel 2. Data Spektra Respons

PGA (g)	0,234	PSA (g)	0,425
Ss (g)	0,465	Sds (g)	0,664
S ₁ (g)	0,218	T ₀ (detik)	0,129
SD1	0,428	T _s (detik)	0,664

Sumber: Hasil Perhitungan

Percepatan Puncak dan Spektrum Respons di Batuan Dasar

PGA: 0,234 S_s: 0,465 S₁: 0,218

Tabel 3. Data Spektra Respon

As	0	0,312
T0	0,129	0,664
SDS	0,2	0,664
Ts	0,644	0,664
Ts+0,1	0,7	0,611
Ts+0,2	0,8	0,535
Ts+0,3	0,9	0,476
Ts+0,4	1	0,428
SD1	1	0,428
Ts+0,5	1,1	0,389

Sumber: Hasil Perhitungan

Berdasarkan SNI 2833-2016

Faktor modifikasi respon untuk bangunan bawah

R = 2,000

Koefisien beban gempa horisontal

S = 1,000

Mencari nilai Csm untuk T < T0

$$Csm = (Sds - PSA) T/T0 + PSA \\ = 0,235333144$$

untuk struktur jembatan dengan daerah sendi plastis beton bertulang,

$$S = 1,3F \\ S = 1,3 \times 1,0F = 1,0F$$

dengan, F = 1,25 - 0,025 x n dan F harus diambil > 1

F = faktor perangkaan

n = jumlah sendi plastis yang menahan deformasi arah lateral

Untuk, n = 1

maka

$$F = 1,25 - 0,025 \times n = 1,225$$

Faktor tipe struktur,

Tabel 3. Distribusi Beban Gempa

h_1	0,94	m	h_2	0 m	h_{11}	0,0 m
h_2	0	m	h_3	2,85 m	c	0 m
h_3	0	m	h_4	0 m	d	0 m
h_4	0	m	h_5	0 m	h_{12}	2,85 m
h_5	0	m	h_6	0,9 m	H	3,79 m

Sumber: Hasil Perhitungan

Tabel 4. Distribusi Beban Gempa

4	Berat Wt(kN)	T_{EQ} (kN)	Uraian lengkap titik O	Besar y(m)	M_{EQ} (kNm)
STRUKTUR ATAS					
P_{MS}	5164,322	1215,3274	y=H	3,79	4606,09
P_{MA}	658,34	154,9281	y=H	3,79	587,18
ABUTMENT					
1	62,04	14,599962	$y_1 = h10 + h8 + c + h4 + h3 + h2 + h1/2$	2,37	34,60
2	179	42,124327	$y_4 = h10 + h8 + c + 2/3^h4$	1,90	80,04
3	564,3	132,79753	$y_7 = h7/2$	1,43	189,24
4	356,4	83,872125	$y_{10} = h10/2$	0,45	37,74
5	178,2	41,936062	$y_{11} = h11/2$	0,45	18,87
			$y_{12} = y_1$		
			$y_{13} = h10 + h8 + c + h4 + (h3 + h2)/2$		
WINGWALL					
6	0	0	$y_{15} = h10 + h8 + c/2$	2,37	0,00
7	0	0	$y_{18} = h7$	1,40	0,00
8	10,00	2,3533144	$y_{20} = h10 + h8 + h13/2$	2,85	6,71
TANAH					
9	268,323	63,144838	$y_{22} = h10 + h8 + c/2$	3,32	209,64
10	85,635	20,152608	$y_{23} = h10 + 2/3^h8$	2,33	46,85
			M_{EQ}		5816,96
Letak titik tangkap gaya horisontal gempa					
			$y_{EQ}(m)=$		3,28

Sumber: Hasil Perhitungan

$$S = 1,225$$

Koefisien beban gempa horisontal,

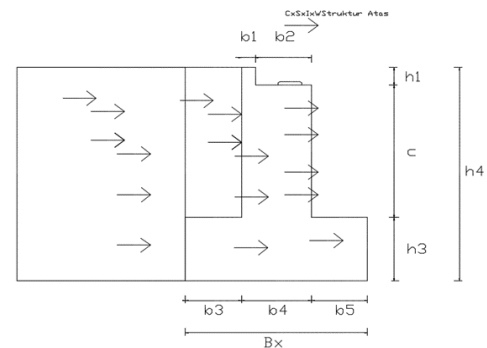
$$Kh = C \times s = 0,35333144$$

Untuk jembatan yang memuat > 2000 kendaraan/hari, jembatan pada jalan raya utama atau arteri, dan jembatan dimana terdapat route alternatif. maka diambil faktor kepentingan,

$$I = 1$$

Gaya Gempa

$$T_{EQ} = 0,247527688 \times Wt$$



Gambar 3. Gaya Gempa

Sumber: Hasil Perhitungan

Tanah Lunak

Beban gempa arah melintang jembatan (arah X)

Tinggi breast wall

$$Hb = 2,850 \text{ m}$$

Ukuran penampang breast wall

$$b = 11,00 \text{ m}$$

$$b = 0,750 \text{ m}$$

Inertia penampang breast wall

$$Ic = 0,387 \text{ m}^4$$

Mutu beton K- 300

$$f'c = 24,900 \text{ Mpa}$$

Modulus elastisitas beton

$$Ec = 23452,953 \text{ Mpa}$$

$$Ec = 23452952,906 \text{ kPa}$$

Nilai kekakuan

$$Kp = 1175383,082$$

Percepatan gravitasi

$$g = 9,8 \text{ m/det}^2$$

Berat sendiri struktur atas

$$P_{MS(\text{str atas})} = 5164,322 \text{ kN}$$

Berat sendiri struktur bawah

$$P_{MS(\text{str bawah})} = 1608,706 \text{ kN}$$

Berat sendiri total total struktur

$$W_{TP} = 4190,867 \text{ kN}$$

Waktu getar alami struktur

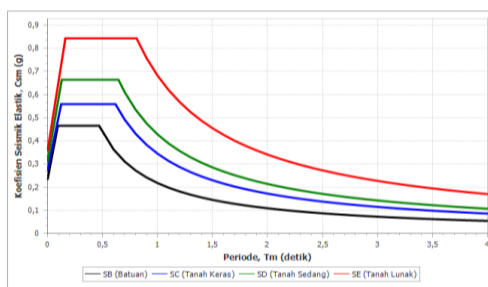
$$T = 0,120 \text{ detik}$$

Gambar 5. Data Spektra Respons
Sumber: Data Gempa Pusjatan

Tabel 5. Data Gempa Dari Pusjatan

PGA (g)	0,234	PSA (g)	0,006
S _s (g)	0,465	S _{Ds} (g)	0,843
S ₁ (g)	0,218	T ₀ (detik)	0,162
SD1	0,682	T _s (detik)	0,809

Sumber: Hasil Perhitungan

**Gambar 4.** Grafik Jenis Tanah

Sumber: Data Gempa Pusjatan

Tabel 6. Data Spektra Respon

As	0	0,358
T ₀	0,162	0,843
SDS	0,2	0,843
T _s	0,809	0,843
T _{s+0.1}	0,9	0,757
T _{s+0.2}	1	0,682
SD1	1	0,682
T _{s+0.3}	1,1	0,62

Sumber: Hasil Perhitungan

Percepatan Puncak dan Spektrum Respons di Batuan Dasar

PGA:	0,234	S _s :	0,465	S ₁ :	0,218
------	-------	------------------	-------	------------------	-------

Tabel 7. Distribusi Beban Gempa

4	Berat Wt(kN)	T _{EQ} (kN)	Uraian lengkap thd titik O	Besar y(m)	M _{EQ} (kNm)
STRUKTUR ATAS					
P _{MS}	5164,322	1215,3274	y=H	3,79	4606,09
P _{MA}	658,34	154,9281	y=H	3,79	587,18
ABUTMENT					
1	62,04	14,599962	y1 = h10+h8*c+h4+h3+h2+h1/2	2,37	34,60
2	179,42	42,24327	y4 = h10+h8*c+c/2*h4	1,90	80,04
3	564,3	132,79753	y7 = h7/2	1,43	189,24
4	356,4	83,872125	y10 = h10/2	0,45	37,74
5	178,2	41,936062	y11 = h11/2	0,45	18,87
WINGWALL					
6	0	0	y15 = h10+h8*c+h4/2	2,37	0,00
7	0	0	y18 = h7	1,40	0,00
8	10,00	2,3533144	y20 = h10+h8+h13/2	2,85	6,71
TANAH					
9	268,323	63,144838	y22 = h10+h8*c+h4/3	3,32	209,64
10	85,635	20,152608	y23 = h10/2+3/8*h8	2,33	46,85
T _{EQ} =	1771,2363		M _{EQ} =		5816,96
Letak titik tangkap gaya horizontal gempa			y _{EQ} (m)=		3,28

Sumber: Hasil Perhitungan

Berdasarkan SNI 2833-2016

Faktor modifikasi respon untuk bangunan bawah

$$R = 2,000$$

Koefisien beban gempa horisontal

$$S = 1,000$$

Mencari nilai Csm untuk $T < T_0$

$$C_{sm} = (S_{ds} - PSA) T/T_0 + PSA$$

$$= 0,31244914$$

untuk struktur jembatan dengan daerah sendi plastis beton bertulang,

$$S = 1,3F S = 1,0F$$

dengan, $F = 1,25 - 0,025 \times n$ dan F harus diambil > 1

F = faktor perangkaan

n = jumlah sendi plastis yang menahan deformasi arah lateral

Untuk, n = 1

maka

$$F = 1,25 - 0,025 \times n$$

$$= 1,225$$

Faktor tipe struktur,

$$S = 1,225$$

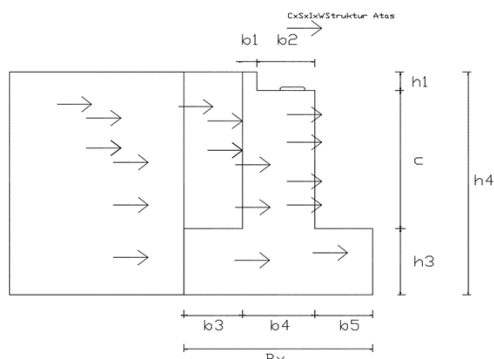
Koefisien beban gempa horisontal,

$$Kh = C \times s = 0,31244914$$

Untuk jembatan yang memuat > 2000 kendaraan/hari, jembatan pada jalan raya utama atau arteri, dan jembatan dimana terdapat route alternatif. maka diambil faktor kepentingan,

$$I = 1$$

$$\text{Gaya Gempa } T_{EQ} = 0,312449144 \times W_t$$



Gambar 6. Gaya Gempa
Sumber: Hasil Perhitungan

Tabel 8. Distribusi Beban Gempa

$h_1 =$	0,94 m	$h_2 =$	0 m	$h_3 =$	0,9 m
$h_1 =$	0 m	$h_2 =$	2,85 m	$c =$	1 m
$h_1 =$	0 m	$h_2 =$	0 m	$b =$	0 m
$h_4 =$	0 m	$h_2 =$	0 m	$h_1 =$	2,85 m
$h_5 =$	0 m	$h_2 =$	0,9 m	$H =$	3,79 m

Sumber: Hasil Perhitungan

Tabel 9. Distribusi Beban Gempa

4	Berat Wt(kN)	T_{EQ} (kN)	Uraian lengkap thd titik O	Besar y(m)	M_{EQ} (kNm)
STRUKTUR ATAS					
P_{MS}	5164,322	1687,5844	$y = H$	3,79	6395,95
P_{MA}	348	113,71857	$y = H$	3,79	430,99
ABUTMENT					
1	62,04	20,27327	$y_1 = H + h_8 + c + h_4 + h_3 + h_2 + h_1 / 2$	2,37	48,05
2	179	58,493175	$y_2 = H + h_8 + c + 2/3 * h_4$	1,90	111,14
3	564,3	184,40055	$y_3 = h_7 / 2$	1,43	262,77
4	534,6	174,69526	$y_4 = H / 2$	0,45	78,61
5	178,2	58,231755	$y_5 = H - h_1 / 2$	0,45	26,20
			$y_12 = y_1$		
			$y_13 = H + h_8 + c + h_4 + (h_3 + h_2) / 2$		
			$y_14 = H + h_8 + c + h_4 / 2$		
6	60,912	19,904672	$y_6 = H + h_8 + c / 2$	2,37	47,17
7	64,8	21,175183	$y_7 = H$	1,40	29,65
8	10,00	3,267755	$y_8 = H + h_8 + h_1 / 3 / 2$	2,85	9,31
TANAH					
9	402,4845	131,52288	$y_9 = H + h_8 + c / 2$	3,32	436,66
10	128,4525	41,975389	$y_{10} = H + 2/3 * h_8$	2,33	97,59
T_{EQ}	2515,2429		M_{EQ}	7974,09	
			Letak titik tangkap gaya horizontal gempa	$y_{10}(m) =$	3,17

Sumber: Hasil Perhitungan

Tanah Lunak

Beban Gempa Arah Melintang Jembatan (Arah X)
Tinggi breast wall

$H_b = 2,850$ m

Ukuran penampang breast wall

$$b = 11,00 \text{ m}$$

$$b = 2,11 \text{ m}$$

Inertia penampang breast wall

$$I_c = 8,61 \text{ m}^4$$

Mutu beton K- 300

$$f'c = 24,900 \text{ Mpa}$$

Modulus elastisitas beton

$$E_c = 23452,953 \text{ Mpa}$$

$$E_c = 23452952,906 \text{ kPa}$$

Nilai kekakuan

$$K_p = 26172367,582$$

Percepatan gravitasi

$$g = 9,8 \text{ m/det}^2$$

Berat sendiri struktur atas

$$P_{MS(\text{str atas})} = 5155,010 \text{ kN}$$

Berat sendiri struktur bawah

$$P_{MS(\text{str bawah})} = 1608,706 \text{ kN}$$

Berat sendiri total struktur

$$W_{TP} = 4186,211 \text{ kN}$$

Waktu getar alami struktur

$$T = 0,025 \text{ detik}$$

Tabel 10. Data Gempa Dari Pusjatan

PGA (g)	0,234	PSA (g)	0,006
Ss (g)	0,465	Sds (g)	0,843
S1 (g)	0,218	T0 (detik)	0,162
SD1	0,682	Ts (detik)	0,809

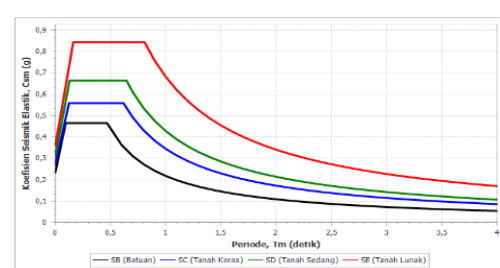
Sumber: Hasil Perhitungan

Percepatan Puncak dan Spektrum Respons di Batuan Dasar

$$\begin{array}{lll} \text{PGA: } & 0,234 & \\ \text{Ss: } & 0,465 & \\ \text{S1: } & 0,218 & \end{array}$$

Gambar 7. Data Respon Spektra

Sumber: Hasil Perhitungan



Gambar 8. Grafik Jenis Tanah
 Sumber: Data Gempa Pusjatan

Tabel 11. Data Spektra Respon

As	0	0,358
T0	0,162	0,843
SDS	0,2	0,843
Ts	0,809	0,843
Ts+0,1	0,9	0,757
Ts+0,2	1	0,682
SD1	1	0,682
Ts+0,3	1,1	0,62

Sumber: Hasil Perhitungan

Berdasarkan SNI 2833-2016

Faktor modifikasi respon untuk bangunan bawah

$$R = 2,000$$

Koefisien beban gempa horisontal

$$S = 1,000$$

Mencari nilai Csm untuk $T < T_0$

$$\begin{aligned} C_{sm} &= (Sds - PSA) T / T_0 + PSA \\ &= 0,06854146 \end{aligned}$$

Untuk struktur jembatan dengan daerah sendi plastis beton bertulang,

$$S = 1,3F \quad F = 1,0F$$

dengan, $F = 1,25 - 0,025 \times n$ dan F harus diambil > 1

F = faktor perangkaan

n = jumlah sendi plastis yang menahan deformasi arah lateral

Untuk, $n = 1$

maka

$$F = 1,25 - 0,025 \times n = 1,225$$

Faktor tipe struktur,

$$S = 1,225$$

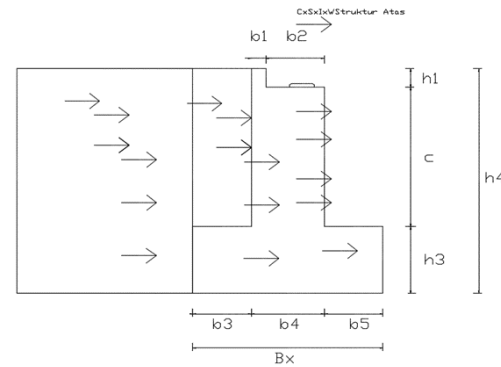
Koefisien beban gempa horisontal,

$$Kh = C \times s = 0,06854146$$

Untuk jembatan yang memuat > 2000 kendaraan/hari, jembatan pada jalan raya utama atau arteri, dan jembatan dimana terdapat route alternatif. maka diambil faktor kepentingan,

$$I = 1$$

$$\text{Gaya Gempa } T_{EQ} = 0,068541461 \times Wt$$



Gambar 9. Gaya Gempa

Sumber: Hasil Perhitungan

Tabel 12. Distribusi Beban Gempa

8	Berat Wt(kN)	T_{EQ} (kN)	Uraian lengkap thd titik O	Besar $y(m)$	M_{EQ} (kNm)
STRUKTUR ATAS					
P _{AS}	5155,01	353,33194	$y = H$	3,79	1339,13
P _{MA}	300,33	20,585057	$y = H$	3,79	78,02
ABUTMENT					
1	62,04	4,2523122	$y1 = h10 + h8 + c + h4 + h3 + h2 + h1/2$	2,37	10,08
2	179	12,268921	$y3 = h10 + h8 + c + 2/3 \cdot h4$	1,90	23,31
3	364,3	38,671946	$y7 = h7/2$	1,43	55,12
4	356,4	24,428177	$y10 = h10/2$	0,45	10,99
5	178,2	12,214088	$y11 = h11/2$	0,45	5,50
			$y12 = y1$		
			$y13 = h10 + h8 + c + h4/2$		
WINGWALL					
6	40,608	2,7833316	$y15 = h10 + h8 + c/2$	2,37	6,60
7	43,2	2,9609911	$y18 = h7$	1,40	4,15
8	10,00	0,6854146	$y20 = h10 + h8 + h13/2$	2,85	1,95
TANAH					
9	268,323	18,39125	$y22 = h10 + h8 + c/2$	3,32	61,06
10	85,635	5,869548	$y23 = h10 + 2/3 \cdot h8$	2,33	13,65
$T_{EQ} =$	496,44898			$M_{EQ} =$	1609,54
			Letak titik tangkap gaya horisontal gempa	$y_{EQ}(m) =$	3,24

Sumber: Hasil Perhitungan

Pembahasan

Abutmen Existing

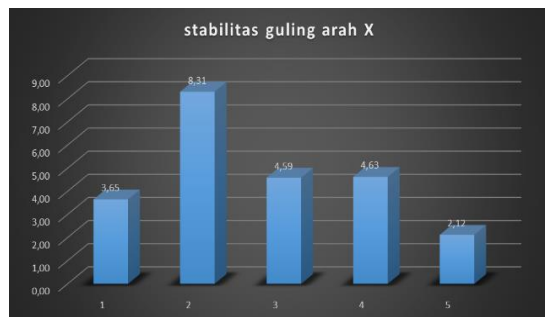
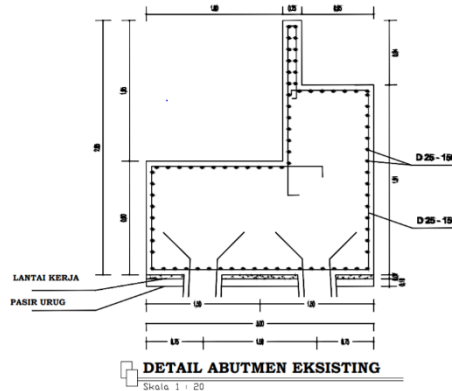
Gambar 10. Abutmen Eksisting

Sumber: Hasil Perhitungan

Tabel 13. Kontrol Guling

No	KOMBINASI BEBAN	k	P kN	Mx kNm	MPx kNm	SF	Keterangan
1	SERVICE 1	0%	8966,4	4603,3	16812,0	3,65	>2,2 Aman
2	SERVICE 2	25%	9187,3	2592,0	21532,8	8,31	>2,2 Aman
3	SERVICE 3	40%	7866,1	4496,8	20648,5	4,59	>2,2 Aman
4	SERVICE 4	40%	7924,9	4496,8	20802,9	4,63	>2,2 Aman
5	SERVICE 5	50%	8171,0	10825,5	22980,9	2,12	<2,2 No Go

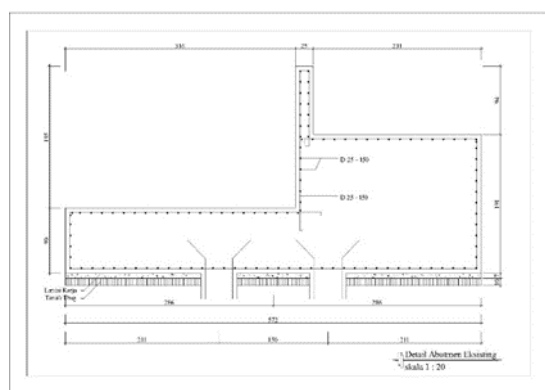
Sumber : Hasil Perhitungan



Gambar 11. Grafik Stabilitas Guling Eksisting

Sumber: Hasil Perhitungan

Abutmen Redesain



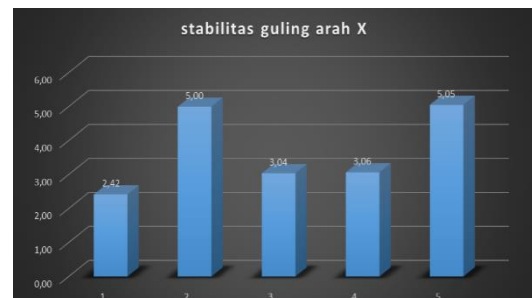
Gambar 12. Abutmen Redesain

Sumber: Hasil Perhitungan

Tabel 14. Kontrol Guling

No	KOMBINASI BEBAN	k	P kN	Mx kNm	MPx kNm	SF	Keterangan
1	SERVICE 1	0%	8368,4	5193,7	12553,6	2,42	>2,2 Aman
2	SERVICE 2	25%	8560,4	3211,7	16050,8	5,00	>2,2 Aman
3	SERVICE 3	40%	7364,4	5087,3	15463,2	3,04	>2,2 Aman
4	SERVICE 4	40%	7423,2	5087,3	15588,7	3,06	>2,2 Aman
5	SERVICE 5	50%	7640,4	3402,6	17190,9	5,05	>2,2 Aman

Sumber : Hasil Perhitungan



Gambar 13. Grafik Stabilitas Guling Redesain

Sumber: Hasil Perhitungan

5. KESIMPULAN DAN SARAN

Kesimpulan

Berdasarkan analisis perbedaan periode getar pada dua abutmen Kironggo-Bondowoso dihasilkan ;

- Periode getar abutmen tanah sedang = 0,025 detik
- Periode getar abutmen tanah lunak = 0,025 detik

Dimensi revisi abutmen pada jembatan Kironggo Bondowoso yang dihasilkan yaitu :

- Abutmen tanah sedang = 3 meter (tetap)
- Abutmen tanah lunak = 5,72 meter (revisi)

Saran

Beberapa saran yang dapat diberikan pada penelitian ini adalah

- Untuk penelitian selanjutnya agar dapat diteliti mengenai kondisi – kondisi tanah pada abutment jembatan sesuai SNI 2833-2013 atau keadaan tanah pada saat menerima beban gempa terhadap struktur jembatan. Dan pada data SPT hendaknya dijadikan time history untuk mengetahui karakteristik tanah.
- Sebaiknya ⁹ untuk perencanaan struktur abutmen hendaknya selalu mengikuti perkembangan peraturan-peraturan dan pedoman (standar) dalam perencanaan struktur sehingga memenuhi syarat keamanan dan peraturan yang (up to date) sehingga ketahanan dapat digunakan dalam jangka panjang.

DAFTAR PUSTAKA

Badan Standarisasi Nasional. 2016. *Perencanaan untuk Jembatan*. SNI 1725-2016 Jakarta

Badan Standarisasi Nasional. 2013. *Perencanaan Jembatan Terhadap Beban Gempa*. RSNI T-2833-2013. Jakarta

Badan Standarisasi Nasional. 2016. *Perencanaan Jembatan Terhadap Beban Gempa*. SNI 2833-2016. Jakarta

Badan Standarisasi Nasional. 2008. *Standar Perencanaan Ketahanan Gempa Untuk Jembatan*. SNI 2833-2008. Jakarta

Bowles, Joseph E. 1991. *Analisa dan Desain Pondas*, jilid 1, Jakarta: Erlangga.Bowles, Joseph E. 1991. “*Analisa dan Desain Pondasi*”, jilid 2, Jakarta: Erlangga.

● 19% Overall Similarity

Top sources found in the following databases:

- 19% Internet database
- Crossref database
- 13% Submitted Works database
- 2% Publications database
- Crossref Posted Content database

TOP SOURCES

The sources with the highest number of matches within the submission. Overlapping sources will not be displayed.

Rank	Source	Category	Similarity (%)
1	adoc.pub	Internet	7%
2	123dok.com	Internet	3%
3	repo.itera.ac.id	Internet	2%
4	Universitas Islam Indonesia on 2017-12-21	Submitted works	2%
5	media.neliti.com	Internet	2%
6	eprints.uns.ac.id	Internet	1%
7	alfiandinata26.blogspot.com	Internet	<1%
8	Sultan Agung Islamic University on 2019-08-28	Submitted works	<1%

9

[eprints.undip.ac.id](#)

Internet

<1%